

УДК 539.3:534.1

СТРАННОЕ ПОВЕДЕНИЕ ЧАСТОТ СОБСТВЕННЫХ КОЛЕБАНИЙ УПРУГОГО ТЕЛА С ЗАТУПЛЕННЫМ ПИКОМ

© 2019 г. С. А. Назаров*

*Санкт-Петербургский государственный университет,
Санкт-Петербург, Россия*

* e-mail: *srgnazarov@yahoo.co.uk*

Поступила в редакцию 24.08.2018 г.

После доработки 18.12.2018 г.

Принята к публикации 25.12.2018 г.

Острие пика на поверхности упругого тела Ω порождает непрерывный спектр, провозирующий волновые процессы в конечном объеме (“черные дыры” для упругих волн). Спектр тела Ω^h с затупленным пиком дискретный, но входящие в него нормальные собственные числа приобретают “странное поведение” при стремлении к нулю длины h обломанного кончика. В разных ситуациях обнаружены собственные числа, не покидающие малой окрестности фиксированной точки или наоборот ниспадающие вдоль вещественной оси с большой скоростью, но плавно опускающиеся на нижний порог непрерывного спектра тела Ω . Может случиться и хаотичное блуждание собственных чисел выше второго порога. Обнаружен новый механизм формирования непрерывного спектра тела Ω с острием из семейства дискретных спектров тел Ω^h с затупленным пиком, $h > 0$.

Ключевые слова: затупленный пик, дискретный и непрерывный спектр, асимптотика, “мигающие” и “планирующие” собственные частоты

DOI: 10.1134/S0032823519020115

1. Тело с пиком. Деформируемое тело $\Omega \subset \mathbb{R}^3$ ограничено поверхностью $\partial\Omega$, гладкой (класса C^∞ для простоты) всюду кроме точки \mathbb{O} , начала декартовых координат $x = (x_1, x_2, x_3)$. В окрестности этой точки тело имеет форму пика (левая часть фигуры 1)

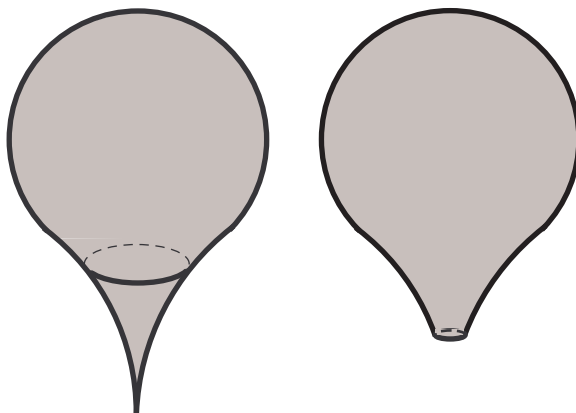
$$\Pi^d = \{x = (y, z) : z = x_3 \in (0, d), \eta := z^{-m}y \in \omega \subset \mathbb{R}^2\} \quad (1.1)$$

Здесь $d > 0$ – длина пика (1.1), $m \geq 1$ – показатель заострения, а ω – эталонное сечение, ограниченное простым замкнутым гладким контуром $\partial\omega$. Масштабированием сведем характерный размер области ω к единице и сделаем декартовы координаты и геометрические параметры безразмерными.

Рассмотрим задачу о гармонических во времени упругих колебаниях анизотропного и однородного тела, записанную в краткой форме

$$Lu = \Lambda u \text{ в } \Omega, \quad Vu = 0 \text{ на } \partial\Omega \setminus \mathbb{O} \quad (1.2)$$

При этом u – вектор смещений, $\Lambda = \rho\gamma^2$ – спектральный параметр, $\gamma \geq 0$ – частота колебаний, $\rho > 0$ – плотность материала, $n = (n_1, n_2, n_3)$ – единичный вектор внешней



Фиг. 1

нормали, а дифференциальные операторы L и B второго и первого порядков соответственно выражаются через декартовы компоненты σ_{jk} тензора напряжений

$$(Lu)_j = - \sum_{k=1,2,3} \frac{\partial}{\partial x_k} \sigma_{kj}(u), \quad (Bu)_j = \sum_{k=1,2,3} n_k \sigma_{kj}(u)$$

Установлено [1–3], что при $m \in [1, 2)$ спектр задачи (1.2) дискретный, т.е. состоит из нормальных собственных чисел (СЧ) конечных кратностей с единственной точкой сгущения на бесконечности, однако при $m \geq 2$ спектр приобретает непрерывную компоненту $[\Lambda^\dagger, +\infty)$. В рассматриваемом далее случае

$$m = 2$$

точка отсечки Λ^\dagger положительна, но $\Lambda^\dagger = 0$ при $m > 2$. Непрерывный спектр порождает волновые процессы в конечном объеме (1.1), известные [4–6] в инженерной практике как “черные дыры” для упругих и акустических волн. Вместе с тем, в реальности идеальное острие недостижимо, и далее изучается задача

$$Lu^h = \Lambda^h u^h \text{ в } \Omega^h, \quad Bu^h = 0 \text{ на } \partial\Omega^h \quad (1.3)$$

о колебаниях тела с затупленным пиком (правая часть фигуры 1)

$$\Omega^h = \Omega \setminus \overline{\Pi^h}, \quad h \ll d \quad (1.4)$$

Поверхность $\partial\Omega^h$ липшицева, а значит, у задачи (1.3) при $h > 0$ формируется полностью дискретный спектр

$$0 = \Lambda_1^h = \dots = \Lambda_6^h < \Lambda_7^h \leq \Lambda_8^h \leq \dots \leq \Lambda_p^h \leq \dots \rightarrow +\infty \quad (1.5)$$

Шесть нулевых СЧ отвечают смещениям тела (1.4) как жесткого целого.

Далее исследуется асимптотика при $h \rightarrow +0$ положительных членов последовательности (1.5), среди которых выявлены “малоподвижные”, “планирующие” и “блуждающие” СЧ (разд. 5, 8 и 9 соответственно). Кроме того, описан (разд. 8) новый способ формирования непрерывного спектра $[\Lambda^\dagger, +\infty)$ из семейства дискретных спектров (1.5): всякая точка $\Lambda > \Lambda^\dagger$ становится СЧ задачи (1.4) для почти периодической в логариф-

мическом масштабе $|\ln h|$ бесконечно малой последовательности $\{h_n(\Lambda)\}_{n=1}^{\infty}$, однако обычно лежит вне спектра (1.5) в промежутках между критическими длинами $h_n(\Lambda)$ и $h_{n+1}(\Lambda)$. Иными словами, выше порога Λ^\dagger непрерывного спектра наблюдается эффект “мигания” СЧ при уменьшении длины обломка Π^h и восстановлении идеального острия (разд. 7).

2. Асимптотическое поведение упругих полей в пике. Поскольку диаметр $O(\zeta^2)$ сечения

$$\omega^\zeta = \{x = (y, z) \in \Pi^d : z = \zeta\}, \quad \zeta > 0 \quad (2.1)$$

много меньше расстояния $\zeta \ll d$ до вершины \mathbb{O} , применим процедуру понижения размерности [1–7], в которой удобно использовать матричную форму [8–10] записи определяющих соотношений теории упругости. Вектор смещений u представим как столбец $(u_1, u_2, u_3)^\top$ в фиксированной системе координат x ; здесь \top – знак транспонирования и u_j – проекция вектора на ось x_j , $j = 1, 2, 3$. Закон Гука

$$\sigma(u) = A\varepsilon(u)$$

включает симметричную положительно определенную постоянную (6×6) -матрицу A упругих модулей и связывает столбец напряжений

$$\sigma(u) = (\sigma_{11}(u), \sigma_{22}(u), \sqrt{2}\sigma_{12}(u), \sqrt{2}\sigma_{13}(u), \sqrt{2}\sigma_{23}(u), \sigma_{33}(u))^\top \quad (2.2)$$

со столбцом деформаций такого же строения

$$\begin{aligned} \varepsilon(u) &= D(\nabla_x)u \\ D(\nabla_x)^\top &= \begin{pmatrix} \partial_1 & 0 & 2^{-1/2}\partial_2 & 2^{-1/2}\partial_3 & 0 & 0 \\ 0 & \partial_2 & 2^{-1/2}\partial_1 & 0 & 2^{-1/2}\partial_3 & 0 \\ 0 & 0 & 0 & 2^{-1/2}\partial_1 & 2^{-1/2}\partial_2 & \partial_3 \end{pmatrix} \\ \nabla_x &= \begin{pmatrix} \partial_1 \\ \partial_2 \\ \partial_3 \end{pmatrix}, \quad \partial_j = \frac{\partial}{\partial x_j} \end{aligned} \quad (2.3)$$

Множители $2^{1/2}$ и $2^{-1/2}$ введены в определения (2.2) и (2.3) для того, чтобы уравнивать естественные нормы тензоров второго ранга и изображающих их столбцов высотой шесть.

Асимптотическое разложение поля смещений вблизи вершины пика имеет вид [1, 3, 7]

$$u(y, z) = U^{-2}(z) + U^{-1}(y, z) + U^0(y, z) + U^{-1}(y, z) + U^{-2}(y, z) + \tilde{u}(y, z) \quad (2.4)$$

$$U^{-2}(z) = \sum_{j=1,2} e_{(j)} w_j(z), \quad U^{-1}(y, z) = e_{(3)} \left(w_3(z) - \sum_{j=1,2} y_j \frac{\partial w_1}{\partial z}(z) \right) + w_4(z) \theta(y) \quad (2.5)$$

$$\theta(y) = 2^{-1/2}(y_1 e_{(2)} - y_2 e_{(1)}) = z^2 \theta(\eta) \quad (2.6)$$

$$w_j(z) = z^{\kappa-5/2} \mathcal{W}_j, \quad j = 1, 2, \quad w_3(z) = z^{\kappa-3/2} \mathcal{W}_3, \quad w_4(z) = z^{\kappa-7/2} \mathcal{W}_4$$

Свойства малого остатка \tilde{u} будут описаны в разд. 3 и 5, $e_{(k)}$ – орт оси x_k , $\theta(y)$ – поворот вокруг оси x_3 , а комплексные число $\kappa \in \mathbb{C}$ и столбец $\mathcal{W} = (\mathcal{W}_1, \mathcal{W}_2, \mathcal{W}_3, \mathcal{W}_4)^\top \in \mathbb{C}^4$ подлежат определению вместе со слагаемыми суммы (2.4)

$$U^p(y, z) = z^{p+2+\kappa-5/2} u^p(\eta), \quad p = 0, 1, 2 \quad (2.7)$$

Причина введения вычитаемого $5/2$ в показатели степеней переменной z станет понятной в разд. 3. Согласно равенствам

$$\begin{aligned}\nabla_y(z^{\tau q}V(z^{-2}y)) &= z^{\tau-2}\nabla_\eta{}^q V(\eta)\Big|_{\eta=z^{-2}y} \\ \partial_z(z^{\tau q}V(z^{-2}y)) &= z^{\tau-1}(\tau^q V(\eta) - 2\eta^\top \nabla_\eta{}^q V(\eta))\Big|_{\eta=z^{-2}y}\end{aligned}$$

градиент-оператор $\nabla_y = (\partial_1, \partial_2)^\top$ понижает показатель однородности τ сложной функции $z^{\tau q}V(z^{-2}y)$ на два, а дифференцирование по продольной координате z — только на единицу.

Обозначим $v = (v_1, v_2)^\top$ единичный вектор внешней нормали к контуру $\partial\omega \subset \mathbb{R}^2$. Трехмерная нормаль на поверхности $\Gamma^d = \{x : z \in (0, d), \eta \in \omega\}$ принимает вид

$$n = n_0^{-1}(v_1, v_2, -2z\eta^\top v)^\top, \quad n_0 = (1 + 4z^2 |\eta^\top v|^2)^{1/2}$$

Матричные дифференциальные операторы $L(\nabla_x)$ и $B(x, \nabla_x)$ из уравнений (1.2) допускают расщепления

$$L = L^0 + L^1 + L^2, \quad n_0^{1/2}B = B^0 + B^1 + B^2$$

$$L^0(\nabla_y) = D(-\nabla_y, 0)^\top AD(\nabla_y, 0), \quad L^2(\partial_z) = D(0, -\partial_z)^\top AD(\partial_z, 0)$$

$$L^1(\nabla_y, \partial_z) = D(-\nabla_y, 0)^\top AD(0, \partial_z) + D(0, -\partial_z)^\top AD(0, \nabla_y) \quad (2.8)$$

$$N^0(y, z, \nabla_y) = D(v(z^{-2}y), 0)^\top AD(\nabla_y, 0), \quad N^2(y, z, \partial_z) = 2zD(0, z^{-2}y^\top v(z^{-2}y))AD(0, \partial_z)$$

$$N^1(y, z, \nabla_y, \partial_z) = D(v(z^{-2}y), 0)^\top AD(0, \partial_z) - 2zD(0, z^{-2}y^\top v(z^{-2}y))^\top AD(\nabla_y, 0)$$

При этом операторы L^q и B^q понижают порядки однородностей вектор-функций (2.7) на $q - 4$ и $q - 2$ соответственно.

Подставим разложения (2.4) и (2.8) в уравнения (1.2) и соберем члены с одинаковыми порядками относительно переменной z . В результате получим последовательность плоских задач теории упругости на сечениях пика (1.1)

$$\begin{aligned}L^0 U^q &= F^q := -L^1 U^{q-1} - L^2 U^{q-2} + \Lambda \delta_{2,q} U^{-2} \text{ на } \omega^z \\ N^0 U^q &= G^q := -B^1 U^{q-1} - B^2 U^{q-2} \text{ на } \partial\omega^z\end{aligned} \quad (2.9)$$

Здесь $q = -2, \dots, 2$, $U^p = 0$ при $p < -2$, $\delta_{p,q}$ — символ Кронекера.

Вектор-функции (2.5) удовлетворяют задачам (2.9) при $q = -2$ и $q = -1$ соответственно. Проверено [1, 7], что поочередное решение задач (2.9), точнее, соблюдение условий их разрешимости

$$\begin{aligned}\int_{\omega^z} F_k^q(y, z) dy + \int_{\partial\omega^z} G_k^q(y, z) ds_y &= 0, \quad k = 1, 2, 3 \\ \int_{\omega^z} \theta(y)^\top F^q(y, z) dy + \int_{\partial\omega^z} \theta(y)^\top G^q(y, z) ds_y &= 0\end{aligned} \quad (2.10)$$

приводит к системе обыкновенных дифференциальных уравнений для вектор-функции $w = (w_1, w_2, w_3, w_4)^\top$. Для ее описания частично воспроизведем выкладки из [10], гл. 5, и [1, 7].

При учете связи

$$D(\nabla_y, 0)U^{-1} + D(0, \partial_z)U^{-2} = 0$$

правые части задачи (2.9) с индексом $q = 0$ принимают вид

$$\begin{aligned} F^0 &= D(\nabla_y, 0)^T AD(0, \partial_z)U^{-1}, \quad G^0 = -D(v, 0)^T AD(0, \partial_z)U^{-1} \\ D(0, \partial_z)U^{-1}(y, z) &= \mathbf{Y}(y)\mathbf{D}(\partial_z)w(z) \end{aligned} \quad (2.11)$$

$$\mathbf{Y}(y) = \begin{pmatrix} 0 & 0 & 0 & 0 & 0 & -y_1 \\ 0 & 0 & 0 & 0 & 0 & -y_2 \\ 0 & 0 & 0 & 0 & 0 & 1 \\ 0 & 0 & 0 & -y_2/2 & y_1/2 & 0 \end{pmatrix}^T, \quad \mathbf{D}(\partial_z) = \begin{pmatrix} \partial_z^2 & 0 & 0 & 0 \\ 0 & \partial_z^2 & 0 & 0 \\ 0 & 0 & \partial_z & 0 \\ 0 & 0 & 0 & \partial_z \end{pmatrix}$$

При помощи формулы интегрирования по частям проверено ([10], гл. 5, и [1, 7]), что выполнены все условия разрешимости (2.10) задачи (2.9) с индексом $q = 0$. Таким образом, справедливы соотношения

$$\begin{aligned} U^0(y, z) &= \mathbf{X}(y, z)\mathbf{D}(\partial_z)w(z), \quad \mathbf{X} = (\mathbf{X}^1, \mathbf{X}^2, \mathbf{X}^3, \mathbf{X}^4) \\ \mathbf{X}^l(y, z) &= z^4 X^l(z^{-2}y), \quad l = 1, 2, 4, \quad \mathbf{X}^3(y, z) = z^2 X^3(z^{-2}y) \end{aligned} \quad (2.12)$$

Матрица \mathbf{X} размером 4×3 находится из разрешимой задачи

$$L^0 \mathbf{X} = D(\nabla_y, 0)^T \mathbf{A} \mathbf{Y} \text{ на } \omega^z, \quad B^0 \mathbf{X} = -D(v, 0)^T \mathbf{A} \mathbf{Y} \text{ на } \partial \omega^z \quad (2.13)$$

Установлено [1, 7], что первые два ($k = 1, 2$) условия разрешимости задачи (2.9) с индексом $q = 1$ выполнены автоматически, а два остальных условия превращаются в две нижние строки искомой системы четырех обыкновенных дифференциальных уравнений

$$\mathbf{D}(-\partial_z)^T \mathbf{A}(z)\mathbf{D}(\partial_z)w(z) = \Lambda \mathbf{T} z^4 w(z), \quad z > 0 \quad (2.14)$$

$$\begin{aligned} \mathbf{A}(z) &= \int_{\omega^z} \mathbf{Y}(y)^T A(D(\nabla_y, 0)\mathbf{X}(y, z) + \mathbf{Y}(y)) dy = \mathbf{D}(z^2)^T \mathbf{A}(1)\mathbf{D}(z^2) \\ \mathbf{T} &= \text{diag}\{|\omega|, |\omega|, 0, 0\}, \quad \mathbf{D}(z^2) = \text{diag}\{z^4, z^4, z^2, z^2\} \end{aligned} \quad (2.15)$$

Две верхние строки системы (2.14), включающие спектральный параметр Λ и площадь $|\omega|$ области $\omega \subset \mathbb{R}^2$, — результат выполнения первых двух условий разрешимости (2.10) задачи (2.9) с индексом $q = 2$. Доказано [1], что (4×4) -матрица $\mathbf{A}(1)$ симметрична и положительно определена.

Предельная одномерная задача на оси пика получена. В случае изотропного материала с модулем Юнга E и модулем сдвига μ имеем

$$\mathbf{A}(1) = \begin{pmatrix} EI_{11} & EI_{12} & -E|\omega|P_1 & 0 \\ EI_{12} & EI_{22} & -E|\omega|P_2 & 0 \\ -E|\omega|P_1 & -E|\omega|P_2 & E|\omega| & 0 \\ 0 & 0 & 0 & \mu G/2 \end{pmatrix}$$

При этом P , I и G — центр тяжести, тензор инерции и жесткость кручения области $\omega \subset \mathbb{R}^2$ (см., например, [10], гл. 5 и приложение G в книге [11]). Задача (2.9) распадается на плоскую и антиплоскую задачи для плоского изотропного тела.

3. Упругие волны в пике. Разобьем матрицу $\mathbf{A}(z)$ на блоки размером 2×2 и введем (2×2) -матрицу $\mathbf{M}(z)$, также симметричную и положительно определенную:

$$\mathbf{A} = \begin{pmatrix} \mathbf{A}_{\#\#} & \mathbf{A}_{\#\bullet} \\ \mathbf{A}_{\bullet\#} & \mathbf{A}_{\bullet\bullet} \end{pmatrix}, \quad \mathbf{M} = \mathbf{A}_{\#\#} - \mathbf{A}_{\#\bullet} \mathbf{A}_{\bullet\bullet}^{-1} \mathbf{A}_{\bullet\#} \quad (3.1)$$

$$\mathbf{M}(z) = z^4 \mathbf{M}(1) z^4$$

Исключим неизвестные $w_\bullet = (w_3, w_4)^\top$ из системы (2.14) и образуем систему двух уравнений для вектор-функции $w_\# = (w_1, w_2)^\top$

$$-\partial_z^2 \mathbf{M}(z) \partial_z^2 w_\#(z) = \Lambda z^4 |\omega| w_\#(z), \quad z > 0 \quad (3.2)$$

Пусть $0 < \mathbf{m}_1 \leq \mathbf{m}_2$ – СЧ матрицы $\mathbf{M}(1)$, а ${}^q\mathcal{W}_\#^1$ и ${}^q\mathcal{W}_\#^2$ – соответствующие ортонормированные собственные векторы (СВ). Показатели однородности $\kappa - 5/2$ функций w_1 и w_2 из списка (2.6) подобраны так, что характеристические биквадратные уравнения для системы (3.2) эйлеровского типа принимают простой вид

$$\mathbf{m}_j(4\kappa^2 - 49)(4\kappa^2 - 25) = 16\Lambda |\omega| \quad (3.3)$$

При условии

$$\Lambda > \Lambda_j^\dagger := \mathbf{m}_j \frac{1225}{16|\omega|} \quad (3.4)$$

уравнение (3.3) имеет два вещественных и два чисто мнимых корня

$$\kappa_j^{\pm} = \pm i \sqrt{K_j^-}, \quad \kappa_j^{r\pm} = \pm \sqrt{K_j^+}, \quad K_j^\pm = \sqrt{9 + \Lambda \frac{|\omega|}{\mathbf{m}_j}} \pm \frac{37}{4} > 0 \quad (3.5)$$

В случае $\Lambda < \Lambda_j^\dagger$ все корни уравнения (3.3) вещественные.

Корни (3.5) и СВ ${}^q\mathcal{W}_\#^j$ формируют решения

$$w_{(j\#)}^{b\pm}(z) = z^{\kappa_j^\pm - 5/2} {}^q\mathcal{W}_\#^j, \quad b = i, r \quad (3.6)$$

укороченной системы уравнений (3.2), но проверенная ([7], разд. 2, § 3) формула

$$w_{(j\bullet)}^{b\pm}(z) = \int \mathbf{A}_{\bullet\bullet}(z)^{-1} \mathbf{A}_{\bullet\#}(z) \partial_z^2 w_{(j\#)}^{b\pm}(z) dz \quad (3.7)$$

восстанавливает недостающую часть вектора $w_{(j)}^{b\pm}$ высотой четыре.

Еще два решения системы (2.14)

$$w^{30} = (0, 0, 1, 0)^\top, \quad w^{40} = (0, 0, 0, 1)^\top \quad (3.8)$$

подчинены соотношениям (2.6) с показателями $\kappa_3 = 3/2$, $\kappa_4 = 7/2$ и связаны с продольным жестким смещением пика и поворотом вокруг оси z . Наконец, решения

$$w^{p1}(z) = z^{-\kappa_p - 5/2} ({}^q\mathcal{W}_1^{p1}, {}^q\mathcal{W}_2^{p1}, z {}^q\mathcal{W}_3^{p1}, z^{-1} {}^q\mathcal{W}_4^{p1})^\top, \quad p = 3, 4 \quad (3.9)$$

отвечают продольной силе и крутящему моменту. При исследовании волновых процессов решения (3.8) и (3.9) не играют существенной роли.

Далее рассматриваем две принципиально разные ситуации

$$\Lambda \in (\Lambda_1^\dagger, \Lambda_2^\dagger), \quad \Lambda^\dagger := \Lambda_1^\dagger < \Lambda_2^\dagger \quad (3.10)$$

$$\Lambda \in (\Lambda_2^\dagger, +\infty), \quad \Lambda_1^\dagger \leq \Lambda_2^\dagger \quad (3.11)$$

В случае (3.11) выполнены оба ($j = 1, 2$) требования (3.4), а значит, в списке (3.6) имеются четыре решения с комплексными показателями степени переменной z , но в случае (3.10) – только два, так как все корни уравнения (3.3) при $j = 2$ вещественные.

При $\Lambda < \Lambda^\dagger$ комплексных корней нет вообще, а на порогах $\Lambda = \Lambda_j^\dagger$ нулевые корни уравнений (3.3) кратные, т.е. согласно правилу решения дифференциальных уравнений эйлеровского типа компоненты (2.6) вектор-функции w приобретают линейную зависимость от $\ln z$. Пороговые значения $\Lambda = \Lambda_j^\dagger$ далее не анализируются, поскольку при них обсуждаемые эффекты исчезают.

Каждое решение w системы (2.14) порождает [3, 7] трехмерное поле w , допускающее представление (2.4), например, в пике $\Pi_{3d/4}$ и удовлетворяет задаче (1.2), суженной на $\Pi_{d/2}$ и $\Gamma_{d/2}$ (уменьшение размеров до $3d/4$ и $d/2$ необходимо). Согласно формулам (2.5) и (2.12) столбец деформаций принимает вид

$$\varepsilon(u; y, z) = (\mathbf{Y}(y) + D(\nabla_y, 0)\mathbf{X}(y, z))\mathbf{D}(\partial_z)w(z) + \tilde{\varepsilon}(u; y, z) \quad (3.12)$$

Оценки остатков в представлениях (3.12) и (2.4) зависят от иницирующего поле смещений u вектора w , в частности, от показателя κ в соотношениях (2.6) для его компонент. Обозначим $u_{(j)}^{i\pm}$ поле смещений, порожденное мнимыми корнями (3.5) биквадратных уравнений (3.3). Далее понадобятся известные [3, 7] оценки

$$\begin{aligned} \left| u_{(j)}^{i\pm}(y, z) - w_{(j)1}^{i\pm}(z)e_{(1)} - w_{(j)2}^{i\pm}(z)e_{(2)} \right| &\leq cz^{-3/2}, \quad (y, z) \in \overline{\Pi_{d/2}} \\ \left| \tilde{\varepsilon}(u_{(j)}^{i\pm}; y, z) \right| &\leq cz^{-3/2}, \quad (y, z) \in \overline{\Pi_{d/2}} \end{aligned} \quad (3.13)$$

Аналогичные оценки верны и для полей $u_{(j)}^{r\pm}$, иницированных вещественными корнями, однако множитель $z^{-3/2}$ в мажорантах превращается в множитель $z^{\kappa_j^\pm - 3/2}$.

Формулы (3.13) и (2.15), (3.1) для столбца $\tilde{\varepsilon}$ и матриц \mathbf{A} , \mathbf{M} соответственно позволяют вычислить функционал упругой энергии на сечении (2.1)

$$\begin{aligned} E(u; \omega^z) &= \frac{1}{2} \int_{\omega^z} \overline{\varepsilon(u; y, z)}^\top \sigma(u; y, z) dy = \\ &= \frac{1}{2} \overline{(\mathbf{D}(\partial_z)w(z))}^\top \int_{\omega^z} (D(\nabla_y, 0)\mathbf{X}(y, z) + \mathbf{Y}(y))^\top A(D(\nabla_y, 0)\mathbf{X}(y, z) + \\ &\quad + \mathbf{Y}(y)) dy \mathbf{D}(\partial_z)w(z) + \dots = \\ &= \frac{1}{2} \overline{(\mathbf{D}(\partial_z)w(z))}^\top \mathbf{A}(z) \mathbf{D}(\partial_z)w(z) + \dots = \frac{1}{2} \overline{\partial_z^2 w_\#(z)} \mathbf{M}(z) \partial_z^2 w_\#(z) + \dots \end{aligned} \quad (3.14)$$

Многоточие заменяет младшие по порядку слагаемые при $z \rightarrow +0$.

Таким образом, погонная энергия (3.14), вычисленная для вектор-функции w с компонентами (2.6), имеет порядок $z^{-1+2\text{Re } \kappa}$, т.е. интеграл энергии в пике (1.1)

$$E(u; \Pi^d) = \int_0^d E(u; \omega^z) dz \quad (3.15)$$

сходится при $\text{Re } \kappa > 0$, но заведомо расходится при $\text{Re } \kappa < 0$. Соответственно поле u и вектор w называем энергетическими и неэнергетическими. При чисто мнимом показателе $\kappa_j^{i\pm}$ величина (3.14) принимает [7] вид

$$E(u_{(j)}^{i\pm}; \omega^z) = \frac{1}{2z} \left(\frac{25}{4} + |\kappa_j^{i\pm}|^2 \right) \left(\frac{49}{4} + |\kappa_j^{i\pm}|^2 \right) \mathbf{m}_j |w_\#^{j\pm}|^2 + \dots \quad (3.16)$$

и также обеспечивает расходимость интеграла (3.15). Погонная упругая энергия (3.16) обладает примечательным свойством, характерным для волновых процессов: упругая

энергия $E(u_{(j)}^{\pm}; \Pi^{2p} \setminus \Pi^p)$, запасенная фрагментом пика Π^d , не зависит в главном от расстояния ρ до вершины \mathbb{O} . Иными словами, волна $u_{(j)}^{\pm}$ переносит энергию и потому называется распространяющейся. На основе принципов излучения Зоммерфельда и Умова–Мандельштама (см. [12], гл. 1, [13, 14] и др.) показано ([7], § 4), что волны $u_{(j)}^{\pm}$ распространяются в сторону к вершине \mathbb{O} , а волны $u_{(j)}^{\pm}$ — из вершины в сторону массивной части тела. Эти волны называются уходящими и входящими соответственно.

4. Матрица рассеяния и коэффициент рассеяния; захваченные волны. Вычислен ([7], разд. 1, § 4) осредненный вектор Умова [15], проекция которого на ось z пропорциональна симплектической (полуторалинейной и антиэрмитовой) форме переноса энергии

$$Q_z(u, v) = \sum_{j=1,2,3} \int_{\omega^{\pm}} \overline{(v_k(y, z) \sigma_{3k}(u; y, z) - u_k(y, z) \sigma_{3k}(v; y, z))} dy \quad (4.1)$$

Показано ([7], разд. 1, § 4), что

$$Q_0(u_{(j)}^{\pm}, u_{(j)}^{\pm}) = \lim_{z \rightarrow +0} Q_z(u_{(j)}^{\pm}, u_{(j)}^{\pm}) = \pm 72i \left| \kappa_j^{\pm} \right| \mathbf{m}_j \left| \mathcal{W}_{\#}^j \right|^2 \quad (4.2)$$

Нормируем СВ $\mathcal{W}_{\#}^j$ матрицы $\mathbf{M}(1)$ так, чтобы правая часть соотношения (4.2) стала равной $\pm i$. В результате приходим к условиям ортогональности и нормировки

$$Q_0(u_{(j)}^{\psi}, u_{(k)}^{\tau}) = \pm i \delta_{\psi, \tau} \delta_{j, k} \quad (j, k = 1, 2, \psi, \tau = \pm) \quad (4.3)$$

Поля, порожденные разными чисто мнимыми показателями $i\kappa_{(1)}$ и $i\kappa_{(2)}$, ортогональны одно другому в смысле формулы (4.3) потому, что подынтегральное выражение приобретает осциллирующий множитель $e^{i(\kappa_{(1)} - \kappa_{(2)})z}$, но сам интеграл (4.1) должен иметь предел, являясь фрагментом поверхностного интеграла в формуле Грина для решений задачи (1.2) в пике $\Pi^{d/2}$. По аналогичной причине $Q_0(u_{(j)}^{\pm}, u_{(j)}^{\pm}) = 0$ для энергетических и неэнергетических упругих полей.

Определим дифракционные характеристики тела Ω с пиком. Сначала обратимся к ситуации (3.11), когда существуют две пары $u_{(1)}^{\pm}$ и $u_{(2)}^{\pm}$, т.е. $j, k = 1, 2$ в формуле (4.3). Доказано ([16], гл. 5, [17], § 3, [7], § 5), что свойства (4.3) и $u_{(j)}^{\pm} = \overline{u_{(j)}^{\mp}}$, упомянутых волн обеспечивают унитарность и симметричность (2×2) -матрицы рассеяния S , составленной из коэффициентов разложений специальных решений задачи (1.2)

$$Z^j(x) = \chi(x) u_{(j)}^+(x) + \chi(x) \sum_{k=1,2} S_{jk} u_{(k)}^-(x) + \tilde{Z}^j(x), \quad j = 1, 2 \quad (4.4)$$

При этом χ — гладкая срезающая функция, равная единице на $\Pi^{d/4}$ и нулю вне $\Pi^{d/2}$. Остаток \tilde{Z}^j попадает в энергетическое гильбертово пространство $\mathcal{H}(\Omega)$, которое получается замыканием линейного пространства $C_c^{\infty}(\overline{\Omega} \setminus \mathbb{O})^3$ (бесконечно дифференцируемые функции, обращающиеся в нуль около точки \mathbb{O}) по норме

$$\|u; \mathcal{H}(\Omega)\| = (2E(u; \Omega) + \|u; L^2(\Omega)\|^2)^{1/2}$$

Более точная информация об остатках будет указана в разд. 5.

Установлено ([10], гл. 3, § 3, [1], § 3), что $\mathcal{H}(\Omega)$ шире пространства Соболева $H^1(\Omega)^3$ и вложение $\mathcal{H}(\Omega)^3 \subset L^2(\Omega)^3$ не является компактным. Для энергетических полей вы-

полнено включение $\chi u_{(k)}^{r+} \in \mathcal{H}(\Omega)$, но неэнергетические поля $\chi u_{(k)}^{r-}$ и распространяющиеся волны $\chi u_{(j)}^{i\pm}$, не принадлежат пространству $\mathcal{H}(\Omega)$.

В ситуации (3.10) имеется одна пара распространяющихся волн $u_{(1)}^{i\pm}$, и поэтому в формулах (4.3) и (4.4) фигурируют индексы $j, k = 1$, а матрица рассеяния вырождается в скаляр $S = S_{11}$:

$$Z(x) = \chi(x)(u_{(1)}^{i+}(x) + S u_{(1)}^{i-}(x)) + \tilde{Z}(x) \quad (4.5)$$

Поля (4.4) и (4.5) порождены волнами, которые приходят из вершин \mathbb{O} в тело Ω , но затем рассеиваются в нем и возвращаются в вершину как уходящие волны. Закон сохранения энергии обеспечивает упомянутые свойства матрицы рассеяния, а в ситуации (3.10) показывает, что коэффициент рассеяния S лежит на единичной окружности \mathbb{S} в комплексной плоскости \mathbb{C}

$$S = e^{i\Theta_1} \in \mathbb{S}, \quad \Theta_1 \in (-\pi, \pi]$$

Решения задачи (1.2) из энергетического класса $\mathcal{H}(\Omega)$ называются захваченными упругими волнами в теле Ω . При геометрической и физической симметрии (например, изотропное тело с круговыми сечениями, перпендикулярными оси z) найдена [1] неограниченная последовательность частот собственных колебаний тела Ω , причем соответствующие собственные моды экспоненциально затухают при $x \rightarrow \mathbb{O}$. Хотя конкретных примеров до сих пор не построено [7], в принципе у задачи (1.2) могут быть собственные вектор-функции, которые содержат в представлении на $\Pi^{d/2}$ нетривиальные энергетические поля и потому характеризуются степенным поведением при $x \rightarrow \mathbb{O}$. Указанные захваченные волны именуем экспоненциальными и степенным соответственно.

5. “Малоподвижные” собственные частоты. Захваченная волна, т.е. собственная вектор-функция $u^0 \in \mathcal{H}(\Omega)$ задачи (1.2), отвечающая спектральному параметру $\Lambda^0 > 0$, оставляет малые невязки в краевых условиях на торце ω^h обломанного пика, что обеспечивает существование СЧ $\Lambda_{p(h)}^h$ из последовательности (1.5) в непосредственной близости от Λ^0

$$\left| \Lambda_{p(h)}^h - \Lambda^0 \right| \leq c(\Lambda^0) \rho_h, \quad h \in (0, h(\Lambda^0)] \quad (5.1)$$

При этом $\rho_h = e^{-\beta(\Lambda^0)/h}$ или $\rho_h = h^{\kappa_{\min}(\Lambda^0)}$ в случаях экспоненциальной или степенной захваченной волны, $h(\Lambda^0)$, $c(\Lambda^0)$ и $\beta(\Lambda^0)$ – некоторые положительные величины, зависящие от Λ^0 , но не от h , а $\kappa_{\min}(\Lambda^0)$ – наименьший положительный корень биквадратных уравнений (3.3).

Поясним как выводится неравенство (5.1). Снабдим энергетическое пространство $\mathcal{H}(\Omega^h) = H^1(\Omega^h)^3$ скалярным произведением

$$\langle u^h, v^h \rangle_h = (AD(\nabla)u^h, D(\nabla)v^h)_{\Omega^h} + (u^h, v^h)_{\Omega^h} \quad (5.2)$$

Здесь $(\cdot, \cdot)_{\Omega^h}$ – скалярное произведение в пространстве Лебега $L^2(\Omega^h)$, а нужные свойства полуторалинейной формы (5.2) обеспечены [18] неравенством Корна в липшицевой области (1.4). Формула

$$\langle \mathcal{K}^h u^h, v^h \rangle_h = (u^h, v^h)_{\Omega^h}, \quad u^h, v^h \in \mathcal{H}(\Omega^h) \quad (5.3)$$

определяет положительный, симметричный и непрерывный, а значит, самосопряженный оператор \mathfrak{H}^h в $\mathcal{H}(\Omega^h)$. Согласно определениям (5.3) и (5.2) вариационная формулировка задачи (1.3)

$$(AD(\nabla)u^h, D(\nabla)v^h)_{\Omega^h} = \Lambda^h(u^h, v^h)_{\Omega^h}, \quad u^h \in \mathcal{H}(\Omega^h)$$

равносильна абстрактному уравнению

$$\mathfrak{H}^h u^h = K^h u^h \text{ в } \mathcal{H}(\Omega^h)$$

с новым спектральным параметром

$$K^h = (1 + \Lambda^h)^{-1} \quad (5.4)$$

Поскольку вложение $\mathcal{H}(\Omega^h) \subset L^2(\Omega^h)^3$ компактно при $h > 0$, в силу общих результатов ([19], гл. 10) существенный спектр оператора \mathfrak{H}^h – единственная точка $K = 0$, а дискретный спектр – бесконечно малая положительная последовательность

$$1 = K_1^h = \dots = K_6^h > K_7^h \geq K_8^h \geq \dots K_p^h \geq \dots \rightarrow +0, \quad (5.5)$$

образованная из последовательности (1.5) по правилу (5.4).

Утверждение

$$\begin{aligned} u^h \in \mathcal{H}(\Omega^h) \setminus \{0\}, \quad \mathbf{K}^h \in \mathbb{R}_+, \quad \left\| \mathfrak{H}^h u^h - \mathbf{K}^h u^h; \mathcal{H}(\Omega^h) \right\| = \delta_h \left\| u^h; \mathcal{H}(\Omega^h) \right\| \Rightarrow \\ \Rightarrow \text{найдется СЧ } K_{p(h)}^h, \text{ для которого } \left| K_{p(h)}^h - \mathbf{K}^h \right| \leq \delta_h \end{aligned} \quad (5.6)$$

известно [20] как лемма о “почти собственных” числах и обеспечено ([19], гл. 6) спектральным разложением резольвенты.

Пусть $u^0 \in \mathcal{H}(\Omega)$ – захваченная волна, u^h – ее сужение на Ω^h и $\mathbf{K}^h = (1 + \Lambda^0)^{-1}$. При помощи одного из определений гильбертовой нормы находим

$$\begin{aligned} \delta_h &:= \left\| \mathfrak{H}^h u^h - \mathbf{K}^h u^h; \mathcal{H}(\Omega^h) \right\| = \sup \left| \left\langle \mathfrak{H}^h u^h - \mathbf{K}^h u^h, v^h \right\rangle_h \right| = \\ &= (1 + \Lambda^0)^{-1} \sup \left| (AD(\nabla)u^0, D(\nabla)v^h)_{\Omega^h} - \Lambda^0(u^0, v^h)_{\Omega^h} \right| = \\ &= (1 + \Lambda^0)^{-1} \sup \left| \int_{\omega^h} \overline{v^h(y, h)}^\top D(e_{(3)})^\top AD(\nabla)u^0(y, h) dy \right| \end{aligned} \quad (5.7)$$

Здесь супремум вычисляется по единичному шару в $\mathcal{H}(\Omega^h)$, т.е. $\|v^h; \mathcal{H}(\Omega^h)\| \leq 1$, а при переходе к интегралу по торцу ω^h была применена формула интегрирования по частям и учтено, что u^0 – решение задачи (1.2).

Для оценки величины (5.7) применим известное [1, 21] весовое анизотропное неравенство Корна

$$\begin{aligned} \int_{\Omega^h} \left(\sum_{j=1,2} \left(\left| \frac{\partial v_j^h}{\partial x_j} \right|^2 + |v_j^h|^2 + |x|^2 \left(\left| \frac{\partial v_j^h}{\partial x_3} \right|^2 + \left| \frac{\partial v_3^h}{\partial x_j} \right|^2 \right) \right) \right) + \\ + |x|^2 \left(\left| \frac{\partial v_1^h}{\partial x_2} \right|^2 + \left| \frac{\partial v_2^h}{\partial x_1} \right|^2 \right) + \left| \frac{\partial v_3^h}{\partial x_3} \right|^2 + \frac{1}{|x|^2} |v_3^h|^2 dx \leq c \|v^h; H(\Omega^h)\|^2 \end{aligned} \quad (5.8)$$

и сопутствующие следовые неравенства

$$\begin{aligned} h \int_{\omega^h} (|v_1^h|^2 + |v_2^h|^2 + h^{-2} |v_3^h|^2) dy &\leq c \|v^h; \mathcal{H}(\Omega^h)\|^2 \\ h^{-1} \int_{\omega^h} |v^h(y, h) - \bar{v}^h|^2 dy &\leq c \|v^h; \mathcal{H}(\Omega^h)\|^2, \quad \bar{v}^h = \frac{1}{h^2 |\omega|} \int_{\omega^h} v^h(y, h) dy \end{aligned} \quad (5.9)$$

В силу формул (3.12) и (2.11), (2.12) вектор-функция

$$T^0(y, z) = D(e_{(3)})^\top AD(\nabla)u^0(x)$$

удовлетворяет условиям ортогональности

$$\int_{\omega^h} T_j^0(y, h) dy = 0, \quad j = 1, 2,$$

которые позволяют в интеграле по ω^h из соотношения (5.7) произвести замену $v_j^h \mapsto v_j^h - \bar{v}_j^h$ и затем применить уточненное неравенство (5.9). Поскольку $u^0 \in \mathcal{H}(\Omega^h)$ – полиномиальная захваченная волна, в ее представлении около вершины пика отсутствуют неэнергетические и распространяющиеся волны, но присутствуют энергетические волны. Таким образом, справедливо [3] соотношение

$$|T^0(y, z)| \leq cz^{\kappa_{\min}(\Lambda^0) - 5/2} \quad (5.10)$$

В итоге получаем оценку величины (5.7)

$$\begin{aligned} \delta_h &\leq (1 + \Lambda^0)^{-1} \|T^0; L^2(\omega^h)\| \left(\|v_3^h; L^2(\omega^h)\| + \sum_{j=1,2} \|v_j^h - \bar{v}_j^h; L^2(\omega^h)\| \right) \leq \\ &\leq C |\omega^h|^{1/2} h^{\kappa_{\min}(\Lambda^0) - 5/2} h^{1/2} \|v^h; \mathcal{H}(\Omega^h)\| \leq Ch^{\kappa_{\min}(\Lambda^0)} =: C\rho_h \end{aligned}$$

Наконец, утверждение (5.6) подтверждает справедливость оценки (5.1), так как

$$\begin{aligned} |K_{p(h)}^h - \mathbf{K}^h| \leq C\rho_h &\Rightarrow |\Lambda^0 - \Lambda_{p(h)}^h| \leq C\rho_h(1 + \Lambda^0)(1 + \Lambda_{p(h)}^h) \Rightarrow \\ \Rightarrow |\Lambda^0 - \Lambda_{p(h)}^h| &\leq 2C\rho_h(1 + \Lambda^0) \text{ при условии } C\rho_h(1 + \Lambda^0) \leq 1/2 \end{aligned} \quad (5.11)$$

Для экспоненциальных захваченных волн вычисления значительно упрощаются.

6. Пограничный слой вблизи обломанного кончика пика. Распространяющиеся волны $u_{(j)}^{i\pm}$ порождают вектор напряжений $T_{(j)}^{i\pm} = D(e_{(3)})^\top AD(\nabla)u_{(j)}^{i\pm}$, для которых мажоранта в оценке (5.10) превращается в $cz^{-5/2}$ и не позволяет доказать, что величина δ_h – бесконечно малая при $h \rightarrow +0$. Как обычно ([22], гл. 5 и гл. 16), для компенсации нежелательно большой невязки в краевом условии на ω^h приходится строить пограничный слой. Растяжение координат

$$x = (y, z) \mapsto \xi = (\xi', \xi_3) = (h^{-2}y, h^{-2}(z - h))$$

и формальный переход к $h = 0$ трансформируют область (1.4) в полубесконечный цилиндр $\Xi = \omega \times \mathbb{R}_+$ с боковой поверхностью $\Gamma = \partial\omega \times \mathbb{R}_+$ и порождают задачу теории упругости

$$\begin{aligned} L(\nabla_\xi)W(\xi) &= 0, \quad \xi \in \Xi, \quad B(\xi'; \nabla_\xi)W(\xi) = 0, \quad \xi \in \Gamma \\ B^0(\nabla_\xi)W(\xi'; 0) &= G(\xi') := -D(e_{(3)})^\top AD(\nabla_\xi)W(\xi', 0), \quad \xi' = (\xi_1, \xi_2) \in \omega \end{aligned} \quad (6.1)$$

В силу классического принципа Сен-Венана (см., например, [23] и ср. математическую формулировку принципа [16], гл. 5) задача (6.1) имеет единственное решение $W \in H^1(\Xi)^3$, затухающее при $\xi_3 \rightarrow +\infty$ с экспоненциальной скоростью, в том и только в том случае, если внешняя нагрузка на торце цилиндра самоуравновешена

$$\int_{\omega} d(\xi'; 0)^\top G(\xi') d\xi' = 0 \in \mathbb{R}^6$$

$$d(\xi) = \begin{pmatrix} 1 & 0 & -\xi_3 & 0 & 0 & -2^{-1/2}\xi_2 \\ 0 & 1 & 0 & -\xi_3 & 0 & 2^{-1/2}\xi_1 \\ 0 & 0 & \xi_1 & \xi_2 & 1 & 0 \end{pmatrix} \quad (6.2)$$

Строение матрицы жестких смещений $d(\xi)$ согласовано со строением матриц D и Y из списков (2.3) и (2.11)

$$D(e_{(3)})d(\xi'; 0) = (D(\nabla_y, 0)e_{(3)}y_1, D(\nabla_y, 0)e_{(3)}y_2, Y(\xi')) \quad (6.3)$$

Рассмотрим какое-либо решение w системы (2.14) и восстановим [3] по нему трехмерное поле смещений u в $\Pi^{d/2}$, главную часть невязки которого в краевом условии на ω^h нужно компенсировать слагаемым типа пограничного слоя и потому подчинить условию ортогональности (6.2). Представление (2.4) с начальными членами (2.5) дает соотношение

$$D(e_{(3)})^\top AD(\nabla)u(x) = \Sigma^0(y, z) + \Sigma^1(y, z) + \dots$$

$$\Sigma^p = D(e_{(3)})^\top A\Psi^p, \quad \Psi^p = D(\nabla_y, 0)U^p + D(0, \partial_z)U^{p-1}$$

Вычислим интеграл (6.2). При учете формул (2.10), (2.11), (2.15) и (6.3) находим

$$\Sigma^0 = D(e_{(3)})^\top A(D(\nabla_y, 0)X + Y)D(\partial_z)w$$

$$\int_{\omega^h} \Sigma^0(y, h)d(y, 0)dy = (0, 0, (A(z)D(\partial_z)w(z))^\top \Big|_{z=h}) \quad (6.4)$$

Два нулевых столбца в (6×6) -матрице (6.4) – следствие равенств (2.13), которые вместе с представлениями (6.3) и (2.9), (2.8) приводят к формуле

$$\int_{\omega^z} (D(\nabla_y, 0)y_j e_{(3)})^\top \Sigma^1(y, z)dy =$$

$$= -e_{(3)}^\top \int_{\omega^z} y_j D(\nabla_y, 0)^\top A\Psi^1(y, z)dy + e_{(3)}^\top \int_{\partial\omega^z} y_j D(v(z^{-2}y), 0)^\top A\Psi^1(y, z)ds_y =$$

$$= e_{(3)}^\top \int_{\omega^z} y_j D(0, \partial_z)^\top A\Psi^0(y, z)dy + 2ze_{(3)}^\top \int_{\partial\omega^z} y_j D(0, z^{-2}y^\top v(z^{-2}y))^\top A\Psi^0(y, z)ds_y =$$

$$= \frac{\partial}{\partial z} \int_{\omega^z} y_j (D(e_{(3)})e_{(3)})^\top A\Psi^0(y, z)dy = \mathbf{e}_{(j)}^\top \partial_z \mathbf{A}(z) \mathbf{D}(\partial_z)w(z) =$$

$$= \mathbf{e}_{(j)}^\top \partial_z (\mathbf{A}_{\#\#}(z) \partial_z^2 w_{\#}(z) + \mathbf{A}_{\#\bullet}(z) \partial_z w_{\bullet}(z));$$

$$\mathbf{e}_{(j)}^\top = (\delta_{j,1}, \delta_{j,2}, \delta_{j,3}, \delta_{j,4})^\top$$

Итак, согласно определению (3.1) матрицы \mathbf{M} требование (6.2) затухания пограничного слоя, компенсирующего невязку поля u в краевых условиях на ω^h , эквивалентно равенствам

$$\partial_z \mathbf{M}(z) \mathbf{D}(\partial_z) w_{\#}(z) \Big|_{z=h} = 0, \quad \mathbf{M}(z) \mathbf{D}(\partial_z) w_{\#}(z) \Big|_{z=h} = 0 \quad (6.5)$$

$$\mathbf{A}_{\bullet\bullet}(z) \partial_z w_{\bullet}(z) \Big|_{z=h} + \mathbf{A}_{\bullet\#}(z) \partial_z^2 w_{\#}(z) \Big|_{z=h} = 0 \quad (6.6)$$

Соотношения (6.5) – естественные краевые условия (терминология [24]) для усеченной системы (3.2) двух обыкновенных дифференциальных уравнений четвертого порядка. Шесть скалярных равенств в списке (6.5), (6.6) – естественные краевые условия для полной системы (2.14).

7. “Мигающие” собственные частоты. Зафиксируем точку $\Lambda^0 > \Lambda^\dagger$ и сначала рассмотрим ситуацию (3.10), в которой имеются две распространяющиеся волны $u_{(1)}^{i\pm}$ с мнимыми показателями $\kappa_1^{i\pm} = \pm i \kappa_1^i$, а также три энергетические $u_{(p)}^{r+}$ и три неэнергетические $u_{(p)}^{r-}$ волны; здесь $p = 1, 2, 3$, а соответствующие показатели $\pm \kappa_1^r$ и $\pm \kappa_2^r, \pm \kappa_3^r$ – вещественные корни биквадратных уравнений (3.3) при $j = 1$ и $j = 2$.

В качестве главного члена асимптотики собственной моды задачи (1.3) возьмем решение (4.5) задачи (1.2), а в качестве поправки – линейную комбинацию неэнергетических волн с малыми коэффициентами

$$u_{(as)}^h(x) = Z(x) + \chi(x) u_{(ne)}^h(x) + \dots \quad (7.1)$$

$$u_{(ne)}^h(x) = \sum_{p=1,2,3} h^{\kappa_p^r} a_p u_{(p)}^{r-}(x) \quad (7.2)$$

Срезающая функция χ взята из разложения (4.5). В этом разложении поля Z помимо слагаемых $u_{(1)}^{i+}$ и $S u_{(1)}^{i-}$ фигурируют энергетические волны, которые привносят в краевое условие на ω^h невязки следующего порядка по сравнению с $O(h^{-5/2})$. Излишний рост $O(h^{-\kappa_p^r-5/2})$ невязки, порожденной волной $u_{(p)}^{r-}$, компенсируется множителем $h^{\kappa_p^r}$. Таким образом, при построении пограничного слоя следует учесть решение системы (2.14)

$$w(z) = w_{(1)}^{i+}(z) + S w_{(1)}^{i-}(z) + \sum_{p=1,2,3} h^{\kappa_p^r} a_p w_{(p)}^{r-}(z) \quad (7.3)$$

Обозначив $a_1^- = 1$ и $a_1^+ = S$, приводим соотношения (6.5) к виду

$$\begin{aligned} & \sum_{\pm} \left(\pm i \kappa_1^i - \frac{5}{2} \right) \left(\pm i \kappa_1^i - \frac{7}{2} \right) h^{\pm i \kappa_1^i} a_1^{\pm} \mathbf{m}_1 \mathcal{W}_{\#}^1 \\ & + \left(\kappa_1^r + \frac{5}{2} \right) \left(\kappa_1^r + \frac{7}{2} \right) a_1 \mathbf{m}_1 \mathcal{W}_{\#}^1 + \sum_{p=2,3} \left(\kappa_p^r + \frac{5}{2} \right) \left(\kappa_p^r + \frac{7}{2} \right) a_p \mathbf{m}_2 \mathcal{W}_{\#}^2 = 0 \\ & - \sum_{\pm} \left(\pm i \kappa_1^i - \frac{5}{2} \right) \left(\left| \kappa_1^i \right|^2 + \frac{49}{4} \right) h^{\pm i \kappa_1^i} a_1^{\pm} \mathbf{m}_1 \kappa_1^i \mathcal{W}_{\#}^1 + \\ & + \left(\kappa_1^r + \frac{5}{2} \right) \left(\frac{49}{4} - \left| \kappa_1^r \right|^2 \right) a_1 \mathbf{m}_1 \mathcal{W}_{\#}^1 + \sum_{p=2,3} \left(\kappa_p^r + \frac{5}{2} \right) \left(\frac{49}{4} - \left| \kappa_p^r \right|^2 \right) a_p \mathbf{m}_2 \mathcal{W}_{\#}^2 = 0 \end{aligned} \quad (7.4)$$

Согласно связи (3.7) фрагментов $w_{\#}$ и w_{\bullet} вектора (7.3) равенство (6.6) выполнено автоматически. Поскольку столбцы $\mathcal{W}_{\#}^1$ и $\mathcal{W}_{\#}^2$ взаимно ортогональны, выводим из си-

стемы (7.4) четырех линейных алгебраических уравнений, что $a_2 = 0$ и $a_3 = 0$. Исключив из системы еще одну неизвестную a_1 , приходим к формулам при $j = 1$

$$\begin{aligned} a_j^- &= -h^{2i\kappa_j^i} e^{i\theta_j} a_j^+, \quad \theta_j \in (-\pi, \pi] \\ e^{i\theta_j} &= \tau_j^{-1} \bar{\tau}_n, \quad \tau_j = (2i\kappa_j^i - 5)(2i\kappa_j^i - 7)(\kappa_j^r + i\kappa_j^i) \end{aligned} \quad (7.5)$$

Вернемся к обозначениям $1 = a_1^-$, $S = a_1^+$ и обнаружим, что вектор-функция (7.3) удовлетворяет ограничениям (6.5) и (6.6) в том и только в том случае, если

$$S = e^{i\Theta_1} = -h^{2i\kappa_1^i} e^{i\theta_1} \Leftrightarrow \Theta_1 = \theta_1 + \pi + 2\kappa_1^i \ln h \pmod{2\pi} \quad (7.6)$$

В результате для бесконечно малой последовательности

$$h_n = e^{(2\kappa_1^i)^{-1}(\Theta_1 - \theta_1 - (1+2n)\pi)}, \quad n = 1, 2, 3, \dots \quad (7.7)$$

главный член невязки, оставленной суммой (7.1) в краевом условии на торце ω^h , можно компенсировать экспоненциально затухающим пограничным слоем. Кроме того, согласно определению (7.2) малые невязки $O(h^{\kappa_{\min}(\Lambda^0)})$, порожденные произведением $\chi u_{(ne)}^h$ в задаче (1.2) обращаются в нуль на множестве $\Pi^{d/2}/\Pi^h$ и могут быть обработаны при помощи весового неравенства Корна (5.8). В результате некоторые усложнения выкладок из разд. 6 применительно к “почти собственному” вектору $u^h = Z + \chi u_{(ne)}^h + h^{-1/2} Z$ позволяют на основе утверждений (5.6) и (5.11) найти СЧ $\Lambda_{p(h_n)}^{h_n}$ задачи (1.3), для которого верна оценка (5.1) с бесконечно малым множителем

$$\rho_h = h^{\min\{1, \kappa_1^r, \kappa_2^r, \kappa_3^r\}}$$

Итак, периодически в логарифмическом масштабе $|\ln h|$ с периодом $\pi/\kappa_1^i(\Lambda^0)$ возникает СЧ задачи (1.3), расположенное в непосредственной близости к зафиксированной точке $\Lambda^0 \in (\Lambda_1^\dagger, \Lambda_2^\dagger)$. В промежутках между критическими размерами (7.7) малая окрестность точки Λ^0 освобождается от СЧ из последовательности (1.5), если только вблизи нет “малоподвижных” СЧ (разд. 5). Такое поведение спектра при $h \rightarrow +0$ можно ассоциировать с “миганием” СЧ.

8. “Планирующие” собственные частоты. Неравномерное растяжение координат

$$x = (y, z) \mapsto \mathbf{x} = (\mathbf{y}, \mathbf{z}) = (h^{-2}\mathbf{h}y, h^{-1}\mathbf{h}z)$$

переводит множество $\Pi^d \setminus \Pi^h$ в множество $\Pi^{dh/h} \setminus \Pi^h$. Таким образом, при малой разности $h - \mathbf{h}$ существует “почти тождественный” диффеоморфизм области Ω^h на область $\Omega^{\mathbf{h}}$. Согласно общей теории возмущений линейных операторов ([25], гл. 7) в последовательностях (1.5) можно найти семейства СЧ $\{\Lambda_{p(h)}^h\}$, непрерывно зависящих от малого параметра $h > 0$.

Пусть $\Lambda^0 = \Lambda_{p(h_n)}^{h_n}$. Используя соотношение (7.6) и вытекающие из формул (3.5) и (3.4) равенства

$$\frac{\partial \kappa_1^i}{\partial \Lambda}(\Lambda^0) = \frac{|\omega|}{4\mathbf{m}_1} \frac{1}{\kappa_1^i(\Lambda^0)}, \quad \kappa_1^i(\Lambda^0)^2 = \frac{|\omega|}{4\mathbf{m}_1} \frac{\Lambda^0 - \Lambda_1^\dagger}{37 + 4\sqrt{9 + \Lambda_0 \mathbf{m}_1^{-1} |\omega|}}$$

вычисляем производную

$$\left. \frac{\partial \Lambda_{p(h)}^h}{\partial h} \right|_{h=h_n} = \frac{16}{h_n |\ln h_n|} (\Lambda^0 - \Lambda_1^\dagger) \frac{1 + O(h_n)}{37 + 4\sqrt{9 + \Lambda_0 \mathbf{m}_1^{-1} |\omega|}} \quad (8.1)$$

Соотношение (8.1) означает, что СЧ из упомянутых семейств двигаются вниз вдоль интервала $(\Lambda_1^\dagger, \Lambda_2^\dagger)$ с большой скоростью $O(h^{-1} |\ln h|^{-1})$, пересекая каждую точку $\Lambda^0 \in (\Lambda_1^\dagger, \Lambda_2^\dagger)$ “почти периодически” в логарифмическом масштабе. Вместе с тем скорость спадает до нуля при приближении $\Lambda_{p(h)}^h$ к Λ_1^\dagger , т.е. СЧ “плавно садятся” на порог Λ_1^\dagger . Аналогичный режим свойственен парашютистам в затяжном прыжке, что отражено в термине “планирующие” СЧ.

Планирующие СЧ имеют общий предел Λ_1^\dagger , т.е. при $h \rightarrow +0$ происходит концентрация спектра (1.5) около нижнего порога непрерывного спектра задачи (1.2) в теле Ω .

Тот факт, что каждая точка $\Lambda^0 \in (\Lambda_1^\dagger, \Lambda_2^\dagger)$ — истинное СЧ задачи (1.3) для бесконечно малой последовательности длин обломков Π^h , во-первых, подтверждает правильность термина “мигающий” (в разд. 7 показано лишь то, что такое число расположено вблизи Λ^0) и, во-вторых, представляет новый способ формирования непрерывного спектра на участке $(\Lambda_1^\dagger, \Lambda_2^\dagger)$ из семейства дискретных спектров (1.5) задач (1.3) в Ω^h .

9. “Блуждающие” собственные частоты. Пусть $\Lambda^0 > \Lambda_2^\dagger$, т.е. реализуется ситуация (3.11) и имеются две пары мнимых $\pm i\kappa_j^i$ и две пары вещественных $\pm \kappa_j^r$ корней биквадратных уравнений (3.3), $j = 1, 2$. В качестве главного члена асимптотики (7.1) собственной вектор-функции u^h задачи (1.3) возьмем линейную комбинацию Z дифракционных решений (4.4), а основную поправку составим из неэнергетических полей $u_{(j)}^{r\pm}$

$$\begin{aligned} Z(x) &= b_1 Z^1(x) + b_2 Z^2(x), \quad u_{(ne)}^h(x) = a_1 h^{\kappa_1^r} u_{(1)}^{r-}(x) + a_2 h^{\kappa_2^r} u_{(2)}^{r-}(x) \\ w(z) &= \sum_{j=1,2} \left(\sum_{\pm} a_j^\pm w_{(j)}^{\pm}(z) + a_j h^{\kappa_j^r} w_{(j)}^{r-}(z) \right), \quad a_j^+ = b_j, \quad a_j^- = \sum_{k=1,2} S_{jk} b_k \end{aligned} \quad (9.1)$$

Равенства (6.6) для решения (9.1) системы (2.14) выполнены автоматически, а равенства (6.5), спроецированные на взаимно ортогональные СВ $\mathcal{W}_\#^j$ матрицы $\mathbf{M}(1)$, порождают систему четырех алгебраических уравнений

$$\begin{aligned} \sum_{\pm} \left(\pm i\kappa_j^i - \frac{5}{2} \right) \left(\pm i\kappa_j^i - \frac{7}{2} \right) h^{\pm i\kappa_j^i} a_j^\pm + \left(\kappa_j^r + \frac{5}{2} \right) \left(\kappa_j^r + \frac{7}{2} \right) a_j = 0 \\ - \sum_{\pm} \left(\pm i\kappa_j^i - \frac{5}{2} \right) \left(|\kappa_j^i|^2 + \frac{49}{4} \right) h^{\pm i\kappa_j^i} a_j^\pm + \left(\kappa_j^r + \frac{5}{2} \right) \left(\frac{49}{4} - |\kappa_j^r|^2 \right) a_j = 0 \end{aligned}$$

Исключив неизвестные a_1 и a_2 , получаем связи (7.5) коэффициентов a_j^- и a_j^+ , которые согласно соотношениям (9.1) превращаем в систему двух уравнений для столбца $b = (b_1, b_2)^\top$

$$Sb + R(h)b = 0 \quad (9.2)$$

$$R(h) = \text{diag} \{ e^{i(\theta_1 + 2\kappa_1^i \ln h)}, e^{i(\theta_2 + 2\kappa_2^i \ln h)} \} \quad (9.3)$$

Итак, условие экспоненциального затухания пограничного слоя, компенсирующее невязку суммы (7.1) в краевом условии на торце ω^h и позволяющего обосновать асимптотику СЧ задачи (1.3) в Ω^h , привело к системе трансцендентных уравнений (9.2), т.е. длина h обломка Π^h находится из требования: единица – СЧ пучка

$$r \mapsto S + rR(h) \quad (9.4)$$

Если Ω – изотропное упругое тело, а сечение ω симметрично относительно обеих осей системы координат $y = (y_1, y_2)$, то $\Lambda_1^\dagger = \Lambda_2^\dagger$, реализуется именно ситуация (3.11) и

$$\kappa_1^i = \kappa_2^i, \quad \kappa_1^r = \kappa_2^r, \quad \theta_1 = \theta_2$$

В итоге матрица (9.3) лишь постоянным множителем отличается от единичной (2×2) -матрицы, а значит, при

$$h_{nk} = e^{(2\kappa_j^i)^{-1}(\Theta_k - \theta_1 - (1+2n)\pi)}, \quad k = 1, 2, \quad n = 1, 2, 3, \dots \quad (9.5)$$

соотношение (9.2) выполнено для СВ b^k унитарной матрицы рассеяния S , отвечающих ее СЧ $e^{i\Theta_k}$. Таким образом, как и в разд. 7, наблюдаем эффект “мигания” СЧ.

Аналогичный вывод справедлив и для анизотропного тела с асимметричным пиком, если только $\kappa_1^i = \kappa_2^i$, причем в качестве $e^{i\Theta_k}$ в определении (9.4) критических длин h_{nk} выступают СЧ унитарной матрицы $R^{-1/2}SR^{-1/2}$, где $R = \text{diag}\{e^{i\theta_1}, e^{i\theta_2}\}$. Кроме того, согласно формуле (9.3) СЧ пучка (9.4) при $h \rightarrow +0$ оббегают с большой скоростью единичную окружность $\mathbb{S} \subset \mathbb{C}$ в направлении против часовой стрелки.

В случае $\kappa_1^i \neq \kappa_2^i$ и $\Lambda^0 > \Lambda_2^\dagger$ СЧ пучка (9.4) хаотично двигаются по окружности \mathbb{S} на комплексной плоскости, а направление их движения может изменяться сколь угодно много раз при $h \rightarrow +0$. В двух ситуациях, когда семейства $\{\Lambda_{p(h)}^h\}$, непрерывно зависящие от параметра $h > 0$, пересекают точку $-1 \in \mathbb{S}$ или приближаются к ней, в малой окрестности выбранной точки Λ^0 появляется элемент последовательности (1.5). Вместе с тем установить какой-либо закон движения семейств не удается, и поэтому соответствующие СЧ называем “блуждающими”. По доказанному [1, 3] непрерывный спектр задачи (1.2) покрывает луч $(\Lambda_2^\dagger, +\infty)$ и правомочна гипотеза: для каждой точки $\Lambda^0 > \Lambda_2^\dagger$ найдется такая бесконечно малая последовательность $\{h_n(\Lambda^0)\}$, что расстояние от -1 до СЧ пучка (9.4) при $h = h_n(\Lambda^0)$ стремится к нулю при $h \rightarrow +0$.

Работа финансово поддержана Российским научным фондом (17-11-01003).

СПИСОК ЛИТЕРАТУРЫ

1. Назаров С.А. О спектре задачи теории упругости для тела пикообразной формы // Сиб. матем. ж. 2008. Т. 49. № 5. С. 1105–1127.
2. Бахарев Ф.Л., Назаров С.А. О структуре спектра задачи теории упругости для тела со сверхострым пиком // Сиб. матем. ж. 2009. Т. 50. № 4. С. 746–756.
3. Kozlov V., Nazarov S.A. On the spectrum of an elastic solid with cusps // Adv. Diff. Equat. 2016. V. 21. № 9/10. P. 887–944.
4. Миронов М.А. Распространение изгибной волны в пластине, толщина которой плавно уменьшается до нуля на конечном интервале // Акуст. ж. 1988. Т. 34. № 3. С. 546–547.
5. Krylov V.V. New type of vibration dampers utilising the effect of acoustic “black holes” // Acta Acustica united with Acustica. 2004. V. 90. № 5. P. 830–837.

6. *Krylov V.V., Tilman F.J.B.S.* Acoustic “black holes” for flexural waves as effective vibration dampers // *J. Sound Vibr.* 2004. V. 274. P. 605–619.
7. *Kozlov V.A., Nazarov S.A.* Waves and radiation conditions in a cuspidal sharpening of elastic bodies // *J. Elast.* 2018. V. 132. P. 103–140.
8. *Лехницкий С.Г.* Теория упругости анизотропного тела. М.: Наука, 1977.
9. *Bertram A.* Elasticity and Plasticity of Large Deformations. В.; Heidelberg: Springer, 2005.
10. *Назаров С.А.* Асимптотическая теория тонких пластин и стержней. Понижение размерности и интегральные оценки. Новосибирск: Научная книга, 2002.
11. *Pólya G., Szegő G.* Isoperimetric Inequalities in Mathematical Physics. Princeton, NJ: Princeton Univ. Press, 1951 = *Полюа Г., Сеге Г.* Изопериметрические неравенства в математической физике. М.: Физматгиз, 1962.
12. *Ворович И.И., Бабешко В.А.* Динамические смешанные задачи теории упругости для неклассических областей. М.: Наука, 1979.
13. *Назаров С.А.* Энергетические условия излучения Манделъштама и вектор Умова–Пойнтинга в упругих волноводах // *Пробл. матем. анализа.* Вып. 72. Новосибирск, 2013. С. 101–146.
14. *Назаров С.А.* Условия излучения Умова–Манделъштама в упругих периодических волноводах // *Матем. сб.* 2014. Т. 205. № 7. С. 43–72.
15. *Умов Н.А.* Уравнения движения энергии в телах. Одесса: Типогр. Ульриха и Шульце, 1874.
16. *Nazarov S.A., Plamenevsky B.A.* Elliptic problems in domains with piecewise smooth boundaries. В.; N.Y.: Walter de Gruyter, 1994.
17. *Назаров С.А.* Асимптотика собственных чисел на непрерывном спектре регулярно возмущенного квантового волновода // *Теор. матем. физ.* 2011. Т. 167. № 2. С. 239–262.
18. *Кондратьев В.А., Олейник О.А.* Краевые задачи для системы теории упругости в неограниченных областях. Неравенство Корна // *Успехи матем. наук.* 1988. Т. 43. № 5. С. 55–98.
19. *Бирман М.Ш., Соломяк М.З.* Спектральная теория самосопряженных операторов в гильбертовом пространстве. Л.: Изд-во Ленингр. ун-та, 1980.
20. *Вишик М.И., Люстерник Л.А.* Регулярное вырождение и пограничный слой для линейных дифференциальных уравнений с малым параметром // *Успехи матем. наук.* 1957. Т. 12. № 5. С. 3–122.
21. *Назаров С.А.* Дополнения к доказательству весового неравенства Корна для упругого тела с пикообразным заострением // *Пробл. матем. анализа.* Вып. 63. Новосибирск, 2012. С. 83–113.
22. *Mazja W.G., Nasarow S.A., Plamenevski B.A.* Asymptotische Theorie elliptischer Randwertaufgaben in singular gestörten Gebieten. Bd. 1, 2. В.: Akademie, 1991.
23. *Работнов Ю.Н.* Механика деформируемого твердого тела. М.: Наука, 1988.
24. *Lions J.-L., Magenes E.* Problèmes aux limites non homogènes et applications. V. 1. Paris: Dunod, 1968.
25. *Kato T.* Perturbation Theory for Linear Operators. 2nd ed. В.: Springer, 1976.